

# بررسی اثر نسبت فاز آبی و نوع آغازگر بر پلیمرشدن امولسیونی کوپلیمر وینیل استات - اتیلن

The Effect of Aqueous/Organic Phase Ratio and Type of Initiator on Emulsion Polymerization of Vinyl Acetate-ethylene Copolymer

حمید صالحی مبارکه<sup>\*</sup>، محمد رضا رستمی درونکلا، بابک اسماعیلی پور

تهران، پژوهشگاه پلیمر و پتروشیمی ایران، پژوهشکده علوم، گروه علوم پلیمر، صندوق پستی ۱۴۹۶۵/۱۱۵

دریافت: ۸۴/۷/۳۰؛ پذیرش: ۸۴/۷/۲۴

## چکیده

در این پژوهش، پلیمرشدن امولسیونی گاز-مایع کوپلیمرهای وینیل استات- اتیلن، درون راکتور در فشار و بطور ناپیوسته انجام شد. اثر عواملی چون نوع آغازگر (گرمایی و اکسایشی) و نسبت فاز آبی به آبی (غلظت مونومر وینیل استات) بر پلیمرشدن امولسیونی وینیل استات- اتیلن بررسی شد. نتایج نشان می دهد با تغییر نوع آغازگر از اکسایشی به گرمایی تغییر در رصد تبدیل مونومر وینیل استات افزایش می یابد. اما، در رصد اتیلن در کوپلیمر روند کاهشی دارد. در مقایسه سه واکنش با نسبت فاز آبی به آبی (غلظت مونومر وینیل استات) با مقادیر ۴۰، ۳۰ و ۵۰ در رصد وزنی از کل مواد اولیه، مشاهده شد که مقدار ۴۰ در رصد وزنی بهترین مقدار برای دستیابی به کوپلیمری با در رصد تبدیل مونومر وینیل استات مناسب (حدود ۸۰ در رصد) و در رصد اتیلن در کوپلیمر به مقدار کافی (حدود ۱۵-۲۰ در رصد) است. با افزایش نسبت فاز آبی به آبی، در رصد جامد و در نتیجه گرانزوی مخلوط واکنش افزایش می یابد و این امر موجب کاهش نفوذ و کاهش سرعت تبدیل مونومر وینیل استات می شود. کاهش نسبت فاز آبی به آبی همراه با افزودن بافر از ابتدا به محیط واکنش، موجب کاهش مشارکت مونومر وینیل استات در کوپلیمر شدن و افت تغییرات در رصد تبدیل مونومر وینیل استات می شود. گرانزوی ذاتی کوپلیمرها به روش گرانزوی سنجی آبلهود معین و نقش مقدار اتیلن در کوپلیمر روی دمای انتقال شیشه ای کوپلیمرها با توجه به نتایج گرانزوی سنجی بررسی شد.

## واژه های کلیدی

پلیمرشدن امولسیونی،  
وینیل استات - اتیلن، آغازگر،  
نسبت فاز آبی به آبی،  
گرانزوی ذاتی

## مقدمه

و پلیمرشدن امولسیونی معکوس و نیز هسته - لایه [۲] انجام می شود. در بررسیهای متفاوتی که روی کوپلیمرشدن امولسیونی وینیل استات - اتیلن انجام شد، عوامل مختلف واکنش و اثر آنها بر روند کوپلیمرشدن در سامانه ناپیوسته بررسی شدند [۳]. فشار اثر مستقیم بر انحلال پذیری و

محدوده وسیعی از پلیمرهای ستتر شده بطور صنعتی از فرایند رادیکال آزاد تهیه می شوند که حدود ۵۰ در رصد این ترکیبات از فرایند امولسیونی تولید می شوند [۱]. پلیمرشدن امولسیونی بسته به شرایط و مواد اولیه به شکل درشت امولسیونی، مینی امولسیونی، ریز امولسیونی

## Key Words

emulsion polymerization,  
vinyl acetate- ethylene, initiator,  
aqueous/organic phase ratio,  
intrinsic viscosity

## تحوی

### مواد

در این پژوهش از آب مقطر یون زدوده به عنوان فاز آبی، مونومر وینیل استات تولید شده در پتروشیمی ارک با خلوص بیش از ۹۹ درصد و مونومر اتیلن با خلوص ۹۷/۹۶ درصد در کپسولی با فشار bar ۱۰۰ به عنوان فاز آبی، آمونیوم پرسولفات به عنوان آغازگر ساخت شرک مرک، پلی وینیل الکل (PVOH) با درجه آبکافت ۸۸ درصد و وزن مولکولی برابر g/mol ۱۴۶۰۰۰-۸۵۰۰۰ به عنوان کلوبید محافظ، امولسیون کننده سدیم لوریل سولفات و بافر سدیم استات و احیاء کننده متابی سولفیت سدیم ساخت شرک آلدربیچ، کمک حلال نرمal هگزان با خلوص ۹۵ درصد ساخت شرک ریدل دهان استفاده شد.

### دستگاهها

در این پژوهش راکتور با فشار پار (parr)، دستگاه طیف سنج  $^1\text{H}$  NMR ژول مدل FT-۹۰ MHz برای تعیین درصد اتیلن در کوپلیمر، دستگاه DSC پلیمر لاب ساخت انگلستان برای تعیین دمای انتقال شیشه ای کوپلیمرها، ترازو و آون خلاء بکار گرفته شد.

### روشها

واکنشهای پلیمرشدن در راکتور ۱/۸ لیتری انجام شد که مشخصات راکتور قبل ذکر شده است [۴]. ابتدا مخلوط امولسیون کننده سدیم لوریل سولفات، مونومر وینیل استات، آب یون زدوده مقطر و کلوبید محافظ پلی وینیل الکل درون راکتور منتقل و به مدت ۱/۵ h همزده شد. بعد از ۱۰ min کمک حلال نرمal هگزان و آغازگر آمونیوم پرسولفات حل شده در مقداری آب مقطر یون زدوده به مخلوط اضافه شد. سپس، با جریان گاز نیتروژن محیط واکنش عاری از اکسیژن شد [۳]. در حالت استفاده از آغازگر اکسایشی، سدیم متابی سولفیت قبل از آغاز واکنش به مخلوط اضافه و سپس مونومر گازی اتیلن تارسیدن به فشار مورد نظر تزریق شد.

### آماده سازی نمونه ها

نمونه های گرفته شده در طول واکنش به شکل لاتکس آبی، در شرایط دمای  $40^\circ\text{C}$  خشک شد و از آنجا که انحلال پذیری این کوپلیمر در حلال تراهیدروفوران در دمای محیط به سختی انجام می شود. بنابراین، نمونه ها داخل حلال تراهیدروفوران به مدت یک روز قرار داده شد، سپس با گرم کردن و همزن، نمونه ها بخوبی حل گردید. محلول حاصل درون ضدحلال آب در دمای محیط رسوب داده شد. رسوب

مشارکت مونومر گازی اتیلن دارد و در مقدار بهینه ای موجب تولید کوپلیمری با درصد تبدیل مناسب مونومر وینیل استات (حدود ۸۰ درصد) و درصد اتیلن در کوپلیمر به مقدار کافی (۳۰-۱۵ درصد) می شود [۲]. افزودن بافر در واکنش پلیمرشدن امولسیونی موجب کاهش سرعت واکنش مونومر وینیل استات می شود و افزایش غلظت امولسیون کننده و کلوبید محافظ موجب افزایش گرانروی مخلوط واکنش و کاهش نفوذ مونومرها به محله ای و واکنش می شود [۵]. انحلال پذیری مونومر گازی اتیلن وابسته به عواملی چون فشار، دما و نوع محیط مورد نظر است [۶].

پلیمرشدن امولسیونی وینیل استات - اتیلن با هردو نوع آغازگر اکسایشی و گرمایی انجام می شود [۷-۹]، اما آغازگر گرمایی از لحظه درصد تبدیل مونومر وینیل استات و درصد اتیلن بیشتر توصیه می شود. نوع و غلظت پایدار کننده بر ویژگهای محصول از جمله تعداد و توزیع ذرات [۹]، سرعت پلیمرشدن [۷، ۹] و روند تغییرات تبدیل مونومر وینیل استات و درصد اتیلن در کوپلیمر [۵، ۷، ۹] اثر می گذارد.

در این نوع پلیمرشدن از آنجا که یکی از مونومرها (اتیلن) گازی است و در فشار پلیمرشدن به شکل گاز است. بنابراین، برای افزایش مشارکت مونومر گازی اتیلن از کمک حلال استفاده می شود [۷-۹].

در پلیمرشدن گاز - مایع وینیل استات - اتیلن، دور همزن، نوع اختلاط و روش ورود مونومر گازی اتیلن به محیط واکنش اثر مستقیم روی روند درصد تبدیل مونومر وینیل استات در کوپلیمر دارد [۱۰]. در پژوهشی سینتیک پلیمرشدن امولسیونی و مدلسازی رفتار درصد تبدیل مونومر وینیل استات و درصد اتیلن در کوپلیمر بررسی شده است [۱۱].

بطور کلی عوامل متفاوت فرایندی (دما، فشار، دور همزن و سرعت ورود مونومر وینیل استات) و غلظت اجزا (آغازگر، امولسیون کننده، کمک حلال و بافر) بر سرعت پلیمرشدن، ترکیب کوپلیمر، درصد تبدیل مونومر وینیل استات، متوسط و توزیع وزن مولکولی، توزیع و اندازه ذرات، درصد ژل و دمای انتقال شیشه ای [۷-۱۰] کوپلیمر نهایی اثر دارد. پلیمرشدن وینیل استات - اتیلن بطور نیمه پیوسته یا پیوسته انجام می شود [۱۲، ۱۳].

در ادامه مجموعه مقالات قبلی [۴، ۵]، در این پژوهش اثر عواملی چون نوع آغازگر (اکسایشی و گرمایی) و نسبت فاز آبی به فاز آبی (درصد مونومر وینیل استات در خوراک) بر روند و چگونگی تغییرات درصد تبدیل مونومر وینیل استات و ترکیب درصد اتیلن در واکنش پلیمرشدن ناپیوسته بررسی شد و در بررسی جدید ارتباط میان درصد اتیلن در کوپلیمر و دمای انتقال شیشه ای کوپلیمرها با توجه به نتایج گرانروی سنجی مطالعه شد.

### جدول ۱ جابه جایی شیمیایی پروتونهای کوپلیمر VAE

جابه جایی شیمیایی (ppm)	نوع پروتون
۷/۱	-CH <sub>۲</sub> -
۷/۸	-CH <sub>۲</sub> -(E-E)
۷/۴۲	-CH <sub>۲</sub> -(E-VA)
۷/۹	-CH <sub>۳</sub>
۵	-O-C-H

نمونه‌ای از محاسبات مربوط به تعیین درصد وزنی وینیل استات و اتیلن در کوپلیمر نهایی (VAE<sub>H2</sub>) با توجه به داده‌های مربوط به طیف <sup>1</sup>H NMR <sup>۱</sup>H در زیر ارائه شده است:

$$S_2 = ۲۳/۶۱۰, S_1 = ۳/۹۴۱$$

$$\%W_{cop} = \frac{(۳/۹۴۱)}{\{ (۳/۹۴۱) + (۲۳/۶۱۰ - ۵ \times ۳/۹۴۱) / ۴ \}} \times 100 = ۸۰/۲$$

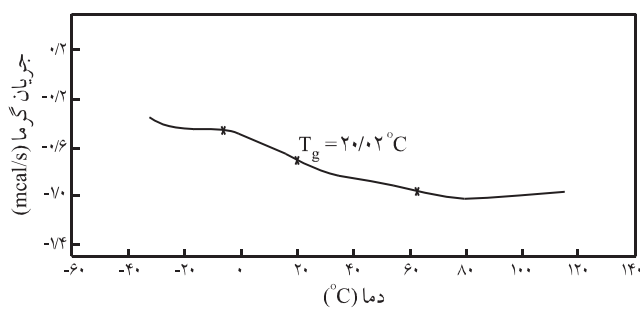
$$\%Et = 1 - \%W_{cop} = ۱۹/۸$$

### تعیین دمای انتقال شیشه‌ای

در این بررسی نمونه‌های تهیه شده در طول واکنش خالص سازی شدند، سپس در آون خلاً به مدت ۲۴ h در دمای ۴۰°C خشک شدند. برای تجزیه DSC، حدود ۱۰ mg از کوپلیمر درون ظرف DSC گذاشته و با سرعت ۲۰°C/min از ۲۰°C تا ۵۰°C گرمادهی شد. شکل ۲ نمایی از این نمودار را نشان می‌دهد.

### گرانروی ذاتی

گرانروی نمونه‌های تهیه شده بعد از خالص سازی، به روش گرانروی محلول رقیق با گرانروی سنج آبلهود در دمای ۳۰±۱°C با استفاده از حلال متیل اتیل کتون اندازه گیری و مقادیر گرانروی ذاتی با رسم منحنی  $\eta_{rel}/C$  و  $\eta_{sp}/C$  بر حسب غلظت نمونه (C) در محلول و امتداد آن به سمت غلظت صفر محاسبه شد.



شکل ۲ گرمانگاشت DSC کوپلیمر وینیل استات - اتیلن (VAE<sub>H2</sub>).

حاصل تا خشک شدن کامل (رسیدن نمونه به وزن ثابت) در دمای ۴۰°C به مدت ۲۴ h درون آون خلاً قرار گرفت [۳].

### تعیین درصد جامد

برای تعیین درصد جامد از روش وزن‌سنجی نمونه‌ها استفاده شد [۹]. نمونه‌های تهیه شده از آزمایش در ابتدا و بعد از خشک شدن توزین و درصد جامد آنها محاسبه شد.

### درصد اتیلن در کوپلیمر و درصد تبدیل مونومر وینیل استات

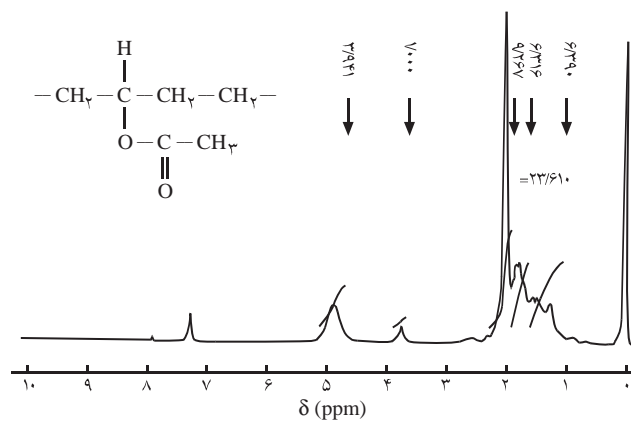
مقدار درصد اتیلن در کوپلیمر از روی محاسبات و داده‌های حاصل از طیف <sup>1</sup>H NMR H، نتایج وزن‌سنجی و مقدار درصد تبدیل مونومر وینیل استات محاسبه شد [۴].

شکل ۱ طیف <sup>1</sup>H NMR <sup>۱</sup>H مربوط به نمونه‌ای از کوپلیمرهای بدست آمده (VAE<sub>H3</sub>) است. نواحی مختلف طیف با توجه به فرمول ساختاری کوپلیمر در جدول ۱ مشخص شده است. در ضمن پیک مشاهده شده در ناحیه حدود ۷/۲ ppm مربوط به حلال کلروفرم بوده که در تمام طیفها یکنواخت است.

با استفاده از سطح زیر منحنی و معادله (۱) درصد اتیلن در کوپلیمر محاسبه شد:

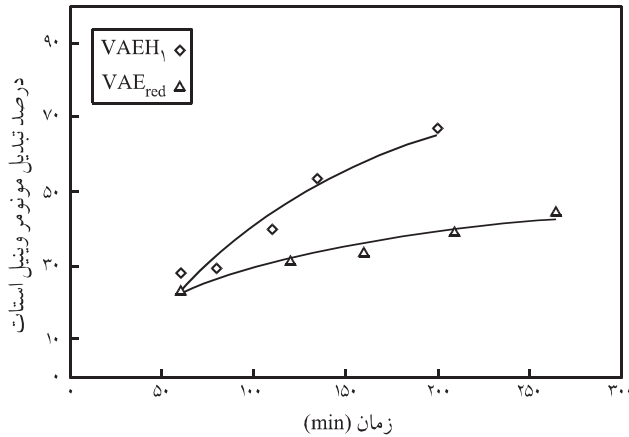
$$\%W_{cop} = \frac{\frac{S_1}{1}}{\frac{1}{S_1} + \frac{(S_2 - ۵S_1)}{4}} \quad (1)$$

در این معادله  $W_{cop}$  درصد وینیل استات،  $S_1$  سطح زیر منحنی مربوط به H- $C-O-$  و  $S_2$  مجموع سطح زیر منحنی پروتونهای دیگر است.



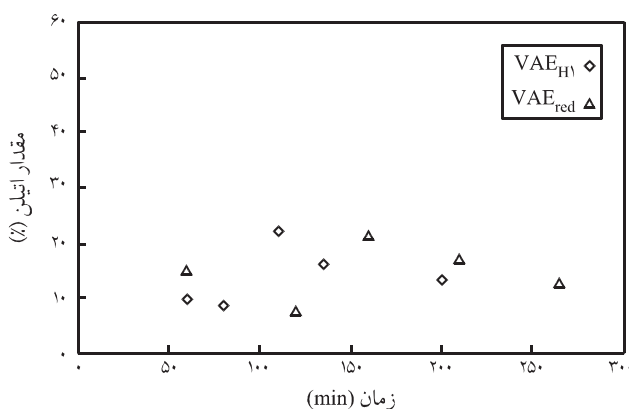
شکل ۱ طیف <sup>1</sup>H NMR <sup>۱</sup>H کوپلیمر وینیل استات - اتیلن (VAE<sub>H3</sub>).

## نتایج و بحث



شکل ۳ تغییر درصد تبدیل مونومر وینیل استات با زمان در دو واکنش با آغازگر اکسایشی (VAE<sub>red</sub>) و گرمایی (VAEH₁).

دما به طور آرنسیوسی رابطه دارد [۷] افزایش دما موجب افزایش سرعت تولید رادیکالهای آزاد و درنتیجه سرعت مصرف مونومر وینیل استات می شود، بنابراین درصد تبدیل مونومر وینیل استات افزایش می یابد. در شکل ۴ تغییر درصد اتیلن در کوپلیمر با زمان واکنش برای دو واکنش VAE<sub>red</sub> و VAEH₁ آمده است. همان طور که ملاحظه می شود روند مشابهی برای هردو واکنش مشاهده می شود. افزایش دما اثر متقابل بر درصد اتیلن در کوپلیمر دارد، یعنی افزایش دما از یک سو موجب کاهش انحلال پذیری مونومر گازی اتیلن و کاهش آن در محلهای واکنش می شود و از سوی دیگر با افزایش دما و افزایش مصرف مونومر وینیل استات بطور مقطعي، غلظت مونومر وینیل استات در محلهای واکنش کاهش یافته و این امر موجب افزایش مشارکت مونومر گازی اتیلن می شود. در مجموع در واکنش پلیمرشدن با آغازگر اکسایشی به علت کمتر بودن دما و افزایش انحلال پذیری و مشارکت



شکل ۴ تغییر درصد اتیلن در کوپلیمر بر حسب زمان برای دو واکنش با آغازگر گرمایی (VAE<sub>red</sub>) و اکسایشی (VAEH₁).

در این پژوهش، عواملی چون نسبت فاز آلی به آبی (غلظت اولیه مونومر وینیل استات)، نوع آغازگر (اکسایشی و گرمایی) و اثر آن بر روند پیشرفت واکنش (تبدیل مونومر وینیل استات) و درصد اتیلن در کوپلیمر نهایی بررسی شد. در جدول ۲ مشخصات انواع واکنشهای انجام شده آمده است.

### اثر نوع و غلظت آغازگر

در این بررسی واکنش VAE<sub>red</sub> با آغازگر اکسایشی در دمای ۴۰°C و واکنش VAEH₁ با آغازگر گرمایی در دمای ۵۰°C انجام شد. مقدار غلظت آغازگر در دو واکنش به ترتیب ۷/۸ و ۰/۵ درصد وزنی نسبت به غلظت اولیه مونومر وینیل استات است. در پلیمرشدن امولسیونی با آغازگر اکسایشی، کم بودن دما موجب افزایش انحلال پذیری و مشارکت مونومر گازی اتیلن می شود، این مطلب اثر معکوس بر سرعت مشارکت مونومر وینیل استات دارد.

در شکل ۳ تغییرات درصد تبدیل مونومر وینیل استات با زمان برای دو واکنش VAE<sub>red</sub> با آغازگر اکسایشی و VAEH₁ با آغازگر گرمایی آمده است. همان طور که ملاحظه می شود با افزایش دما از ۴۰ به ۵۰°C و تغییر نوع آغازگر از اکسایشی به گرمایی با وجود بیشتر بودن غلظت آغازگر در واکنش VAE<sub>red</sub> به مقدار ۳/۶ برابر، در تمامی نقاط درصد تبدیل واکنش VAEH₁ بیشتر است. این مطلب نشان می دهد که با تغییر نوع آغازگر از اکسایشی به گرمایی، از آنجا که ثابت سرعت تجزیه آغازگر با

جدول ۲ مشخصات آزمایشها انجام شده (مقدار آب ۳۱۵ g، دور همنز ۳۰۰ rpm و فشار ۲۳ atm است).

واکنش	دما (°C)	در خوراک درصد وینیل استات	نوع آغازگر (۱)	درصد آغازگر (۲)
VAE <sub>red</sub>	۴۰	۵۰	اکسایشی (۴)	۷/۸
VAEH₁	۵۰	۵۰	گرمایی	۰/۵
VAEH₂	۵۰	۴۰	گرمایی	۰/۵
VAEH₃ (۳)	۵۰	۳۰	گرمایی	۰/۵

(۱) آغازگر  $(\text{NH}_4)_2\text{S}_2\text{O}_8$  و عامل احیاء کننده در واکنش اکسایش  $\text{Na}_2\text{S}_2\text{O}_5$  است.

(۲) درصد آغازگر نسبت به مقدار وزنی مونومر وینیل استات در خوراک است.

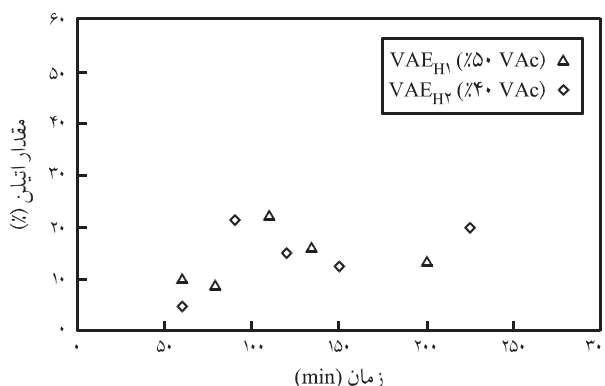
(۳) بافر از ابتدا به مخلوط واکنش اضافه شد.

(۴) در این واکنش نسبت احیاء کننده به آغازگر ۰/۴ و نسبت سدیم لوریل سولفات ۰/۷۵ درصد وینیل استات است.

پیک افزایشی در درصد اتیلن در کوپلیمر، مقدار آن کاهش می‌یابد. برای هر دو واکنش، تغییرات درصد اتیلن در کوپلیمر مربوط به سرعتهای متفاوت مصرف مونومر وینیل استات در طول واکنش است. یعنی زمانی که مصرف مونومر وینیل استات سریعتر است، درصد اتیلن در کوپلیمر کاهش می‌یابد و بر عکس زمانی که مصرف مونومر وینیل استات کندتر است، درصد اتیلن در کوپلیمر افزایش می‌یابد، در برخی از مقاطع واکنش نیز هردو مونومر در واکنش کوپلیمر شدن بطور یکنواخت مشارکت می‌کنند.

#### اثر هم زمان غلظت مونومر وینیل استات و بافر

افروزن بافر موجب ثابت ماندن pH محیط واکنش می‌شود. از آنجا که استفاده از آغازگرهای آمونیوم پرسولفات موجب کاهش pH می‌شود و این مسأله موجب افزایش سرعت شکسته شدن آغازگر [7] می‌گردد. بنابراین، افروزن بافر موجب ثابت ماندن pH و افزایش نیافتن سرعت تولید آغازگر به واسطه کاهش pH است. درنتیجه سرعت مصرف مونومر وینیل استات و اتیلن کاهش می‌یابد. با کاهش غلظت مونومر وینیل استات از ۴۰ به ۳۰ درصد وزنی کل فاز مایع در واکنشهای VAE<sub>H1</sub> و VAE<sub>H2</sub> به علت کاهش درصد جامد و گرانزوی، نفوذ و مشارکت مونومرها زیاد می‌شود، اما به علت اثر بافر، سرعت تبدیل مونومر وینیل استات و مشارکت مونومر گازی اتیلن کاهش می‌یابد. در شکل ۷ تغییر درصد تبدیل مونومر وینیل استات با زمان واکنش برای دو واکنش آمده است. همان طور که ملاحظه می‌شود با کاهش غلظت مونومر وینیل استات از ۴۰ به ۳۰ درصد وزنی، با وجود کاهش درصد جامد و گرانزوی محیط واکنش که نتیجه آن افزایش سرعت تبدیل است، به علت وجود بافر از ابتدا در مخلوط واکنش، سرعت تبدیل مونومر وینیل استات در همه زمانها کمتر از واکنش با غلظت بیشتر



شکل ۶ تغییرات درصد اتیلن در کوپلیمر بر حسب زمان برای دو واکنش VAE<sub>H1</sub> و VAE<sub>H2</sub>.

مونومر اتیلن، از آنجا که نسبت فعالیت دو مونومر وینیل استات و اتیلن در این واکنش حدود ۱ است، در بیشتر نقاط واکنش درصد اتیلن در کوپلیمر بیشتر است.

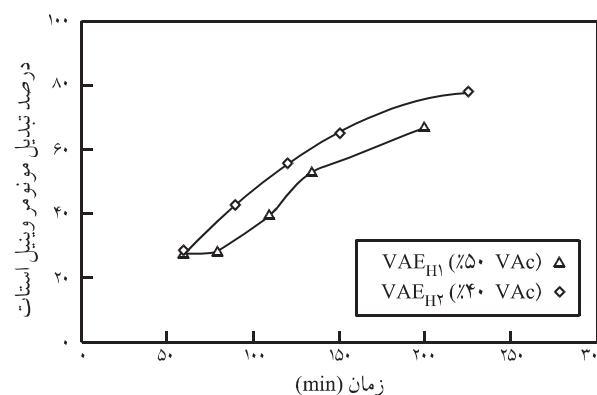
#### اثر غلظت مونومر وینیل استات

در این بررسی واکنش VAE<sub>H1</sub> با غلظت مونومر وینیل استات برابر ۵۰ درصد وزنی نسبت به کل فاز مایع و VAE<sub>H2</sub> با غلظت برابر ۴۰ درصد وزنی نسبت به کل فاز مایع و با درصد یکسان آغازگر نسبت به مونومر وینیل استات انجام شد.

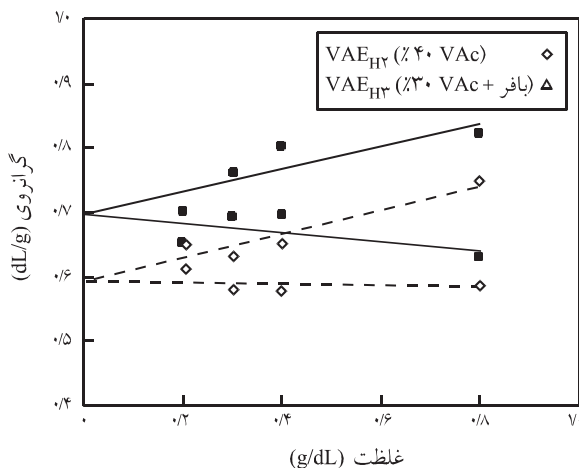
در شکل ۵ تغییرات درصد تبدیل مونومر وینیل استات با زمان واکنش برای دو واکنش VAE<sub>H1</sub> و VAE<sub>H2</sub> آمده است. همان طور که مشخص است افزایش غلظت مونومر وینیل استات موجب کاهش درصد تبدیل مونومر وینیل استات می‌شود، به نحوی که در تمامی نقاط درصد تبدیل مونومر وینیل استات در واکنش VAE<sub>H1</sub> کمتر از واکنش VAE<sub>H2</sub> است.

با افزایش غلظت مونومر وینیل استات درصد جامد امولسیون افزایش می‌یابد و روی رفتار سیال حاصل به علت افزایش گرانزوی محیط واکنش اثر می‌گذارد. این مسأله بر انتقال جرم و درنتیجه وجود مونومرها در محلهای واکنش (Loci) اثر دارد. بنابراین، با افزایش غلظت وینیل استات از ۴۰ به ۵۰ درصد وزنی کل فاز مایع، گرانزوی افزایش می‌یابد که این امر موجب کاهش نفوذ، تبدیل و مشارکت مونومرها می‌شود.

در شکل ۶ تغییر درصد اتیلن در کوپلیمر با زمان واکنش برای دو واکنش VAE<sub>H1</sub> و VAE<sub>H2</sub> آمده است. همان طور که ملاحظه می‌شود تغییرات مربوط به درصد اتیلن در دو واکنش در بیشتر زمانهای واکنش روند تقریباً مشابه نشان می‌دهد، یعنی همیشه بعد از عبور از یک



شکل ۵ تغییرات درصد تبدیل مونومر وینیل استات بر حسب زمان برای دو واکنش VAE<sub>H1</sub> و VAE<sub>H2</sub>.



شکل ۹ نمودار گرانروی کوپلیمرها در دو واکنش VAE<sub>H2</sub> و VAE<sub>H3</sub>.

### گرانروی سنجی

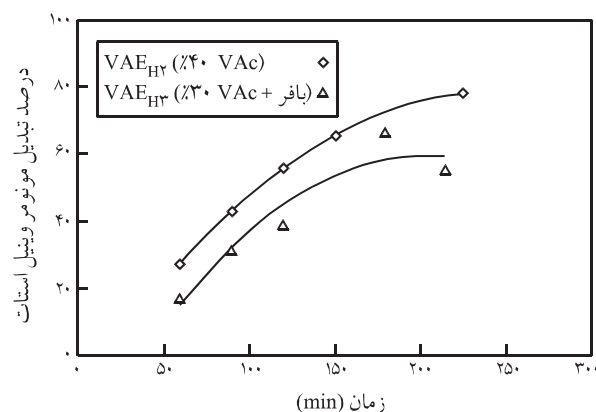
در شکل ۹ نقاط تجربی مقادیر گرانروی کوپلیمرها در دو واکنش VAE<sub>H2</sub> و VAE<sub>H3</sub> آمده است. همان طور که مشاهده می شود خط راست حاصل از نقاط تجربی  $\eta_{sp}/C$  و  $\eta_{rel}/C$  بر حسب غلظت نمونه (C) و برون یابی آن تا غلظت صفر مقدار گرانروی ذاتی ( $\eta_0$ ) را مشخص می کند [۱۴]. این مقدار برای دو نمونه ذکر شده متفاوت است که ارتباط نزدیک با عوامل ساختاری دارد.

در جدول ۳ تغییرات مقادیر گرانروی ذاتی و دمای انتقال شیشه ای کوپلیمرها با تغییر درصد اتیلن در کوپلیمر آمده است. با افزایش درصد اتیلن دمای انتقال شیشه ای باید کاهش پیدا کند. اما، همان طور که ملاحظه می شود، درصد اتیلن تنها عامل مؤثر بر مقدار دمای انتقال شیشه ای نیست، افزون بر آن عوامل ساختاری چون وزن مولکولی و شاخه ای شدن نیز بر دمای انتقال شیشه ای اثر دارد [۱۵].

در مقایسه کوپلیمرهای حاصل از واکنش با آغازگرهای اکسایشی و گرمایی با درصد وزنی یکسان مونومر وینیل استات در خوارک

جدول ۳ تغییرات گرانروی ذاتی و دمای انتقال شیشه ای با تغییر درصد اتیلن در کوپلیمر.

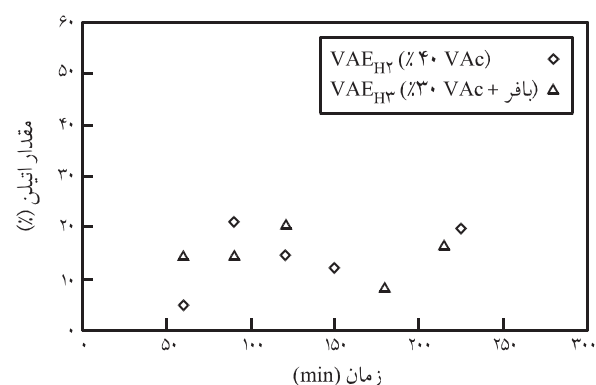
دمای انتقال شیشه ای (°C)	گرانروی ذاتی (dL/g)	درصد اتیلن در کوپلیمر	واکنش
۳۷۵	۰/۶۳۱	۱۷/۶	VAE <sub>red</sub>
۲۱	۰/۵۷۱	۲۴/۹	VAE <sub>H1</sub>
۲۰	۰/۵۹۲	۱۶/۷	VAE <sub>H2</sub>
۱۶/۳	۰/۶۹۶	۱۹/۸	VAE <sub>H3</sub>



شکل ۷ تغییرات درصد تبدیل مونومر وینیل استات بر حسب زمان برای دو واکنش VAE<sub>H2</sub> و VAE<sub>H3</sub>.

وینیل استات است.

در شکل ۸ تغییر درصد اتیلن در کوپلیمر با زمان واکنش برای دو واکنش VAE<sub>H2</sub> و VAE<sub>H3</sub> (محتوی بافر) آمده است. همان طور که ملاحظه می شود روند تغییرات مشابه برای درصد اتیلن در کوپلیمر برای این دو واکنش مشاهده می شود. همچنین، در اوایل واکنش به علت تبدیل کمتر وینیل استات در آزمایش VAE<sub>H3</sub>، اتیلن بیشتری در کوپلیمر مربوط وارد شده است و در ادامه تغییرات درصد اتیلن در این دو واکنش در هر مقطع وابسته به مقدار مصرف مونومر وینیل استات است. چرا که این دو مونومر در تمام طول واکنش در رقابت باهم هستند (به علت نسبت فعالیت نزدیک به ۱ برای دو مونومر). در بررسی اثر غلظت متفاوت مونومر وینیل استات و بافر، واکنش VAE<sub>H2</sub> با ۴۰ درصد وزنی از مونومر وینیل استات از لحاظ درصد تبدیل نهایی مونومر وینیل استات و درصد اتیلن موجود در کوپلیمر نهایی مناسبتر است.



شکل ۸ تغییرات درصد اتیلن در کوپلیمر بر حسب زمان برای دو واکنش VAE<sub>H3</sub> و VAE<sub>H2</sub>.

## نتیجه گیری

با تغییر واکنش از آغازگر اکسایشی به گرمایی و افزایش دمای واکنش از ۴۰ به ۵۰°C با وجود بیشتر بودن غلظت آغازگر در واکنش با آغازگر اکسایشی به مقدار ۳/۶ برابر، در تمامی نقاط درصد تبدیل مونومر وینیل استات در واکنش با آغازگر گرمایی بیشتر است. درصد اتیلن در کوپلیمر برای هر دو واکنش روند مشابهی نشان می‌دهد با این ملاحظه که در پلیمر شدن با آغازگر اکسایشی، در بیشتر نقاط واکنش درصد اتیلن در کوپلیمر بیشتر است.

افزایش غلظت مونومر وینیل استات از ۴۰ به ۵۰ درصد وزنی نسبت به کل فاز مایع، موجب افزایش گرانروی و کاهش نفوذ، تبدیل و مشارکت مونومرها در تمام مراحل واکنش می‌شود. تغییرات مربوط به درصد اتیلن در دو واکنش تقریباً مشابه است و به دلیل سرعتهای متفاوت مصرف مونومر وینیل استات در طول واکنش درصد اتیلن در کوپلیمر تغییرمی‌کند.

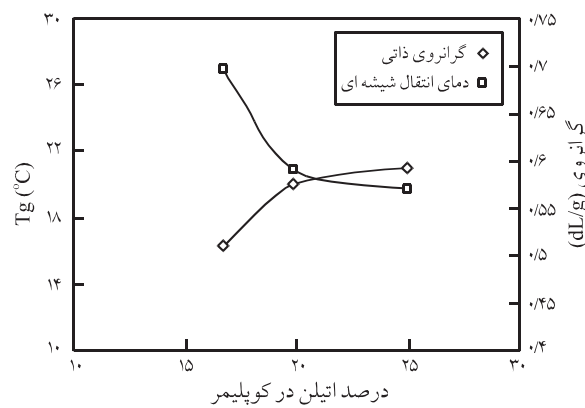
در مجموع برای سه غلظت متفاوت از مونومر وینیل استات و بررسی اثر بافر، واکنش با ۴۰ درصد وزنی از مونومر وینیل استات از لحظه درصد تبدیل نهایی مونومر وینیل استات و درصد اتیلن موجود در کوپلیمر نهایی مناسبتر است. درصد اتیلن تنها عامل مؤثر بر مقدار دمای انتقال شیشه‌ای کوپلیمر نیست، افزون بر آن عوامل ساختاری چون وزن مولکولی و شاخه‌ای شدن که از نتایج گرانروی سنجدی حاصل شده است نیز بر دمای انتقال شیشه‌ای کوپلیمر اثر دارند.

### قدرتداهنی

از شرکت تحقیق و توسعه پتروشیمی برای حمایت مالی این طرح تقدیر و تشکر می‌شود.

## مراجع

- Gilbert R.G., *Emulsion Polymerization: A Mechanistic Approach*, Academic, London, Chap. 1, 1995.
- Anderson C.D. and Daniels E.S., *Rapra Review*, **14**, Report 160, 2003.
- Rostami-Daronkola M.R., *Optimization of Vinyl Acetate-ethylene Emulsion Copolymerization*, MSc Thesis, Iran Polymer and Petrochemical Institute, September 2002.
- Salehi-Mobarakeh H., Rostami-Daronkola M.R. and Esmaeilipour B., Synthesis of Vinyl Acetate-ethylene Copolymer through Batch Emulsion Polymerization, I. Effect of Pressure, *Iran. J. Polym. Sci. Technol.*, **16**, 165-173, 2003.
- Salehi-Mobarakeh H., Rostami-Daronkola M.R. and Esmaeilipour B., Synthesis of Vinyl Acetate-ethylene Copolymer through Batch Emulsion Polymerization, II. Effect of Buf-



شکل ۱۰ تغییرات گرانروی ذاتی و دمای انتقال شیشه‌ای با تغییر درصد اتیلن در کوپلیمرها برای واکنشهای VAE<sub>H1</sub>، VAE<sub>H2</sub> و VAE<sub>H3</sub>

(VAE<sub>H1</sub> و VAE<sub>H2</sub>)، با افزایش درصد اتیلن در کوپلیمر به علت افزایش انعطاف زنجیرها، مقدار حجم هیدرودینامیکی کاهش و درنتیجه گرانروی ذاتی کوپلیمر نیز کاهش می‌یابد و به علت پایین بودن مقدار دمای انتقال شیشه‌ای اتیلن، مقدار دمای انتقال شیشه‌ای کوپلیمر کاهش می‌یابد. در مقایسه کوپلیمرهای حاصل از واکنش با آغازگر گرمایی با درصد وینیل استات مختلف در خوراک (VAE<sub>H1</sub>، VAE<sub>H2</sub> و VAE<sub>H3</sub>) با وجود کاهش درصد اتیلن در کوپلیمر، مقدار دمای انتقال شیشه‌ای روند کاهشی دارد که این پدیده به دلیل افزایش درجه شاخه‌ای شدن در کوپلیمر است [۸]. افزایش درجه شاخه‌ای شدن موجب افزایش حجم آزاد و در نتیجه کاهش دمای انتقال شیشه‌ای کوپلیمر می‌شود [۱۵]. دلیل افزایش شاخه‌ای شدن را می‌توان با داده‌های گرانروی ذاتی کوپلیمر اثبات کرد، چرا که با افزایش شاخه‌ای شدن گرانروی ذاتی کوپلیمر افزایش می‌یابد (جدول ۳). تغییرات گرانروی ذاتی با درصد اتیلن در کوپلیمر و اثر آن بر دمای انتقال شیشه‌ای کوپلیمرها در شکل ۱۰ آمده است. همان‌طور که مشاهده می‌شود با کاهش گرانروی ذاتی و درنتیجه کاهش درجه شاخه‌ای شدن با وجود افزایش درصد اتیلن در کوپلیمر، مقدار دمای انتقال شیشه‌ای کوپلیمرها افزایش می‌یابد.

- fer and Emulsifier Concentration, *Iran. J. Polym. Sci. Technol.*, **16**, 231-239, 2003.
6. Fogg P.G.T. and Gerrard W., *Solubility of Gases in Liquids*, Wiley, New York, Chap. 3 and 7, 1991.
7. Scot P.J., Penlidis A., Rempel G.L., and Lawrence A.D., Ethylene-vinyl Acetate Semi-batch Emulsion Copolymerization: Experimental Design and Preliminary Screening Experiments, *J. Polym. Sci., Part A: Polym. Chem.*, **31**, 403-426, 1993.
8. Scot P.J., Penlidis A., Rempel G.L., and Lawrence A.D., Ethylene-vinyl Acetate Semi-batch Emulsion Copolymerization: Use of Factorial Experiments for Process Optimization, *J. Polym. Sci., Part A: Polym. Chem.*, **32**, 539-555, 1994.
9. Scot P.J., Penlidis A., Rempel G.L., and Lawrence A.D., Ethylene-vinyl Acetate Semi-batch Emulsion Copolymerization: Use of Factorial Experiments for Improved Process, *J. Polym. Sci., Part A: Polym. Chem.*, **31**, 2205-2230, 1993.
10. Scot P.J., Penlidis A., and Rempel G.L., Reactor Design Consideration for Gas-liquid Emulsion Polymerization: the Ethylene-vinyl Acetate Example, *Chem. Eng. Sci.*, **49**, 1573-1583, 1994.
11. Scot P.J., Penlidis A., and Rempel G.L., Ethylene-vinyl Acetate Emulsion Copolymerization: Monomer Partitioning and Preliminary Modeling, *Polym. React. Eng.*, **3**, 93-130, 1995.
12. Gruber B.A., Vratsanos M.S. and Smith C.D., Effect of Colloidal Stabiliser on Vinyl Acetate-ethylene Copolymer Emulsion and Films, *Macromol. Symp.*, **155**, 163-169, 2000.
13. Petrocelli F.P. and Cordeiro C.F., Continuous Process for the Production of Vinyl Acetate-ethylene Emulsion Copolymers, *Macromol. Symp.*, **155**, 39-51, 2000.
14. Kumar A. and Gupta R.K., *Fundamentals of Polymers*, McGraw-Hill, Chap. 8, 1998.
15. Nielsen L.E. and Landel R.F., *Mechanical Properties of Polymer and Composites*, 2nd ed., Marcel Dekker, USA, Chap. 1, 1994.